

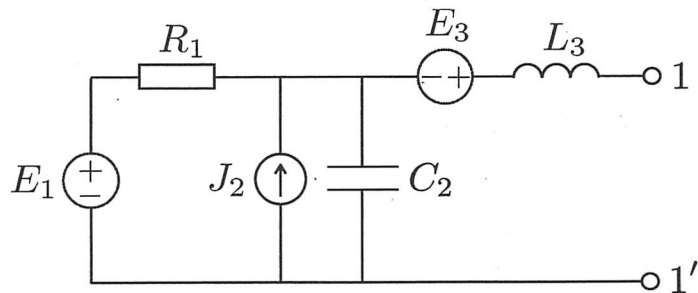
電子光科学 II

次の [II-1] から [II-8] までの 8 間についてそれぞれ別の答案用紙に答えよ。なお、各問題に 2 枚以上の答案用紙を用いる場合は、「[II-1] (2 枚目)」などのように明記せよ。

[II-1]

- (1) テブナンの定理を説明せよ。
- (2) 下図の回路のテブナン等価回路を求めよ。回路はフェーザ表示で交流定常状態にあり、角周波数を ω とする。 E_1 および E_3 は独立電圧源、 J_2 は独立電流源、 R_1 は抵抗、 C_2 はキャパシタ、 L_3 はインダクタである。

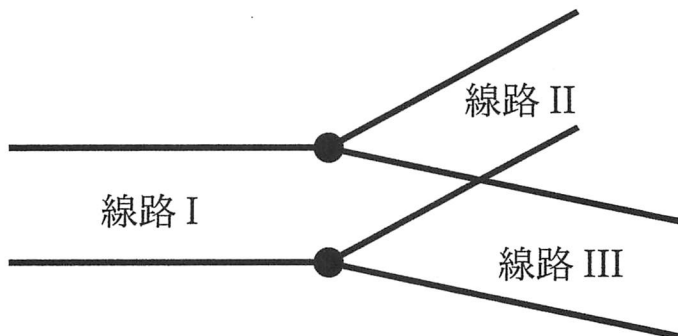
(配点 20 点)



[II - 2]

図のように線路 I の終端に無限長の線路 II, 線路 III が並列接続されている。接続点における線路 I から線路 II, 線路 III への電流透過係数をそれぞれ求めよ。ただし、線路 I, II, III の特性インピーダンスをそれぞれ Z_{01} , Z_{02} , Z_{03} とする。

(配点 20 点)

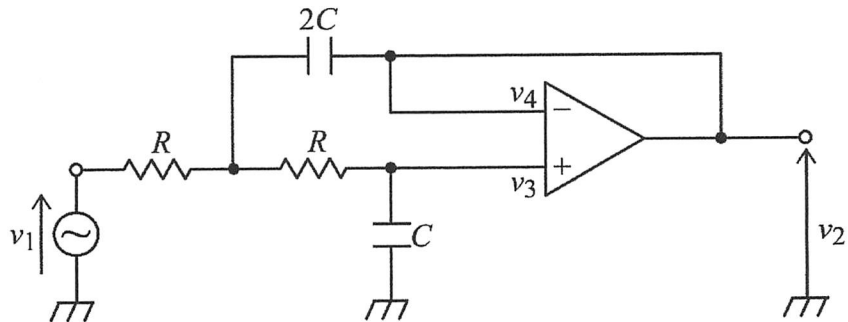


[II - 3]

図に示す理想的な演算増幅器と抵抗、キャパシタからなるフィルタ回路を考える。 v_1, v_2, v_3, v_4 はそれぞれ、入力信号、出力信号、演算増幅器の非反転入力端子および反転入力端子の電圧である。なお、演算増幅器の電源回路の表記は省略する。以下の間に答えよ。

(配点 20 点)

- (1) v_3 と v_4 の関係を示せ。
- (2) 角周波数を ω として、伝達関数 $G(\omega)$ を求めよ。
- (3) 遮断角周波数 ω_0 を求めよ。
- (4) 縦軸を $G(\omega)$ の大きさの dB (デシベル) 表示、横軸を ω の対数表示としたグラフを描け。
ただし、 ω は $0.01\omega_0$ から $100\omega_0$ の範囲とせよ。



[II-4]

ハイレベル状態 (H), ローレベル状態 (L), ハイインピーダンス状態 (Hi-Z) の 3 つの状態を出力としてとることのできる 3 ステートゲートを作製したい。以下の間に答えよ。

(配点15点)

(1) 図 1 に示される入力 X_1, X_2 , 出力 Y_1, Y_2 をもつデジタル回路 A の動作を考える。表 1 を参考にして回路 A の動作表を書け。

(2) 2 入力, 1 出力 Y_0 をもつデジタル回路 B の入力に、問(1)の回路 A の 2 出力 Y_1, Y_2 を接続することで、2 入力 X_1, X_2 , 1 出力 Y_0 をもつデジタル回路 C を作製した。このとき、回路 C が 3 ステートゲートとなるように、回路 B を 1 つの n-MOSFET と 1 つの p-MOSFET で構成した。回路 B の回路図を描け。ただし、 Y_1, Y_2, Y_0 , 電源電圧 V_{DD} , グラウンド GND を回路図中に明記し、n-MOSFET と p-MOSFET の回路図として図 2 のものを用いること。

(3) 問 (2) の 2 入力 X_1, X_2 , 1 出力 Y_0 をもつ回路 C の動作表を書け。

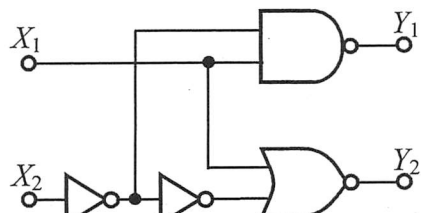
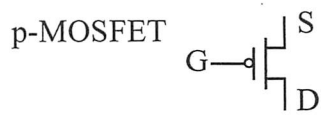
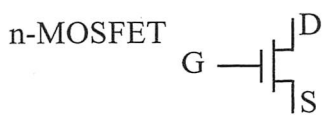


図 1 デジタル回路 A

表 1 動作表

X_1	X_2	Y_1	Y_2
L	L		
L	H		
H	L		
H	H		



G: ゲート
D: ドレーン
S: ソース

図 2 MOSFET の回路記号

[II-5]

以下の間に答えよ。 i は虚数単位、 \hbar は換算プランク定数 ($\hbar = \frac{h}{2\pi}$, h はプランク定数) とする。

(配点 25 点)

- (1) 微分演算子 ∇ は $\nabla = \left(\frac{\partial}{\partial x}, \frac{\partial}{\partial y}, \frac{\partial}{\partial z} \right)$, 運動量演算子は $p = -i\hbar\nabla$, 交換関係は $[A, B] \equiv AB - BA$ (A, B は演算子) として、以下の間に答えよ。

- a) 以下の文中の ア カラ コ にあてはまる適切な式、値または演算子を示せ。

「自由に運動している粒子のハミルトニアン H は、粒子の質量 m と粒子の運動量演算子 p の各成分 p_x, p_y, p_z を用いると、

$$H = \frac{1}{\boxed{\text{ア}}} (\boxed{\text{イ}} + \boxed{\text{ウ}} + \boxed{\text{エ}})$$

と書ける。また、 p_x, p_y, p_z は、

$$p_x = -i\hbar \boxed{\text{オ}}, \quad p_y = -i\hbar \boxed{\text{カ}}, \quad p_z = -i\hbar \boxed{\text{キ}}$$

であるので、ポテンシャル $U(x, y, z)$ 中における一つの粒子に対する、時間に依存しない（定常状態）三次元シュレディンガー方程式は、波動関数を Ψ , エネルギー固有値を E とすると、

$$\left\{ \frac{\boxed{\text{ク}}}{\boxed{\text{ア}}} \boxed{\text{ケ}} + \boxed{\text{コ}} \right\} \Psi = E \Psi$$

と表される。」

- b) 運動量演算子の各成分と座標演算子の各成分 x, y, z との交換関係が

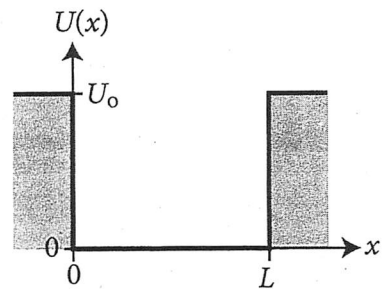
$$[p_x, x] = [p_y, y] = [p_z, z] = -i\hbar$$

となることを示せ。

- (2) 図のような一次元井戸型ポテンシャル（高さ U_0 , 幅 L ）の中に閉じ込められた、 $0 < x < L$ の領域における質量 m の電子の運動を考える。ただし、電子間の相互作用は無視する。

- a) $U_0 \rightarrow \infty$ のとき、 $x \leq 0$ および $x \geq L$ で電子の存在確率が 0 となる。このとき、電子が満たすべき一次元のシュレディンガー方程式を示し、エネルギー固有値を求めよ。波動関数は $\psi(x)$ とする。

- b) $2N$ 個の電子が問 a) に示される一次元井戸型ポテンシャル中に閉じ込められたときの、絶対零度の熱平衡状態における最高被占有エネルギー準位（電子が入っている準位の中で最もエネルギーが高い準位）を求めよ。



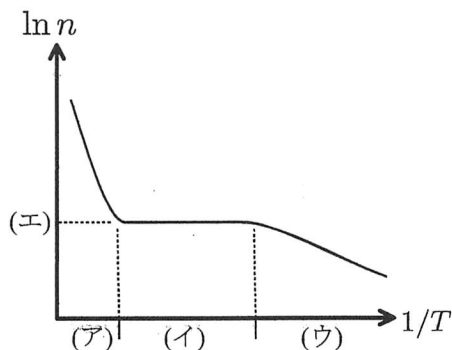
[II-6]

下図は禁制帯幅 E_g を有する n 形半導体の伝導電子密度 n の温度依存性を表したものである (T は絶対温度)。図の下の記述 (A)(B) を参考にして、伝導電子密度の温度依存性に関する以下の間に答えよ。
(配点 20 点)

- (1) 図中の (ア), (イ), (ウ) の温度領域の名称をそれぞれ答えよ。
- (2) 図中の (ア) と (ウ) の温度領域のグラフの直線の傾きを、記述 (A)(B) 中の記号を用いて、それぞれ答えよ。
- (3) n は E_F や N_C を用いると、

$$n = N_C \exp\left(\frac{E_F - E_C}{k_B T}\right)$$

と書ける。このことを利用して、図中の (エ) の伝導電子密度がドナー密度 N_D であることを示せ。



[参考]

- (A) 真性半導体中の伝導電子密度 n_i は、

$$n_i = \sqrt{N_C N_V} \exp\left(-\frac{E_g}{2k_B T}\right)$$

で与えられる。ここで、 N_C と N_V は、それぞれ、伝導帶と価電子帶の有効状態密度であり、 k_B はボルツマン定数である。

- (B) n 形半導体中のすべての伝導電子（密度 n ）がドナー準位から励起されたものであるとき、

$$\frac{n^2}{N_D - n} = \frac{1}{2} N_C \exp\left(-\frac{E_C - E_D}{k_B T}\right)$$

が成立する。ここで、 N_D 、 E_C 、 E_D は、それぞれ、ドナー密度、伝導帶下端のエネルギー、ドナー準位である。さらに、 $k_B T \gg E_C - E_D$ のときには、フェルミ準位は、

$$E_F = E_D + k_B T \ln \left[\frac{N_D}{N_C} \exp\left(\frac{E_C - E_D}{k_B T}\right) \right]$$

で与えられる。

[II-7]

接合面積 $1.0 \times 10^{-6} \text{ m}^2$ の金属／絶縁体／半導体からなる理想的な MIS 構造を考える。絶縁体の比誘電率は 3.9 で、その厚さは 50 nm とする。また、半導体の比誘電率は 12 とする。以下の間に答えよ。必要であれば、真空の誘電率 $8.9 \times 10^{-12} \text{ F/m}$ を用いてよい。

- (1) 絶縁体部分の静電容量 C_i を求めよ。
- (2) あるバイアス電圧を印加して半導体を空乏状態にしたとき、MIS 構造の静電容量は $0.4C_i$ となった。空乏層の静電容量を求めよ。
- (3) 問(2)のときの空乏層幅を求めよ。

(配点 10 点)

[II-8]

図のように、実格子の基本並進ベクトル $\mathbf{a}, \mathbf{b}, \mathbf{c}$ との切片が、整数 h, k, l を用いて、 $|\mathbf{a}|/h, |\mathbf{b}|/k, |\mathbf{c}|/l$ であるような格子面を (hkl) 面とよぶ。 $\mathbf{a}, \mathbf{b}, \mathbf{c}$ に対応する逆格子の基本並進ベクトルを $\mathbf{A}, \mathbf{B}, \mathbf{C}$ としたとき、次式のような逆格子ベクトル \mathbf{G} を定義する。

$$\mathbf{G} = n(h\mathbf{A} + k\mathbf{B} + l\mathbf{C})$$

ただし、 n は正の整数である。以下の間に答えよ。

- (1) 逆格子ベクトル \mathbf{G} が (hkl) 面に垂直であることを証明せよ。
- (2) (hkl) 面の面間隔 d を、 \mathbf{G} と n を用いて表せ。

(hkl) 面およびそれと平行な高次の格子面による X 線のブラッグ反射を考える。入射 X 線の波数ベクトルを \mathbf{k} 、回折 X 線のそれを \mathbf{k}' とする。

- (3) $\mathbf{k}, \mathbf{k}', \mathbf{G}$ の間に成り立つ式を記せ。
- (4) 問(2)および(3)の結果にもとづき、ブラッグの条件を表す式を導け。ただし、ブラッグ角を θ とし、X 線の波長を λ としたとき $|\mathbf{k}| = |\mathbf{k}'| = 2\pi/\lambda$ であるとする。

(配点 20 点)

